

Aktuelne teme/
Current topics

Correspondence to:

Dr Dejan Kostić

Institut za radiologiju vojnomedicinske akademije Beograd
Crnotravska 17, 11000 Beograd
Mob. tel. 063 69 69 79
telefon na poslu 011 266 34 81
e-mail: kostic_dejan@ikomline.net

ULOГA KOMПJUTERIZOVANE
TOMOGRAFIJE U DIJAGNOSTICI
AKUTNOG MOŽDANOG UDARA

ROLE OF CT IN ACUTE STROKE

Dejan Kostić¹, Biljana Georgievski-Brkić², Leposava Sekulović¹, Aleksandar Jovanovski¹, Milan Šćepanović¹, Smiljana Kostić³

¹ Institut za radiologiju, Vojnomedicinska akademija Beograd,

² Bolnica za cerebrovaskularne bolesti „Sveti Sava“ Beograd,

³ Klinika za neurologiju, Vojnomedicinska akademija Beograd.

Sažetak

Ključne reči

CT-angiografija, CT-perfuzija, Akutni moždani udar, penumbra, trombolitička terapija

Key words

CT-angiography, CT-perfusion, Acute stroke, penumbra, thrombolytic therapy

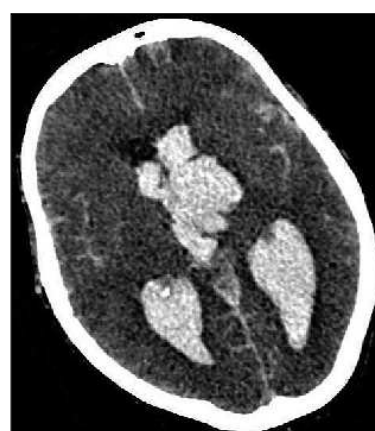
Akutni moždani udar je treći uzrok smrti u razvijenom svetu odmah posle kardiovaskularnih bolesti i maligniteta, a prvi uzrok smrti u našoj sredini. Ovo je i bolest sa najvećim stepenom invaliditeta; oko jedne polovine preživelih sa moždanim udarom ima zaostale neurološke ili psihičke sekvele. Cilj radioloških dijagnostičkih procedura je postavljanje dijagnoze što je pre moguće. Uloga kompjuterizovane tomografije (CT) se ogleda u isključivanju hemoragije ili drugih promena nastalih kao posledica neoplazme ili infekcije koje mogu imitirati kliničku sliku moždanog udara. Naprednim CT tehnikama – CT-angiografijom i CT-perfuzijom mogu se vizuelizovati okluzije, stenoze i disekcije krvnih sudova i definisati tkivo u riziku -penumbra. Informacije dobijene CT tehnikama mogu pomoći u određivanju kojim će se pacijentima ordinirati trombolitička terapija, a kojima ne.

Akutni moždani udar (AMU) definiše se kao fokalni ili globalni poremećaj moždane funkcije, koji naglo nastaje, traje duže od 60 minuta, a posledica je poremećaja moždane cirkulacije ili stanja u kome protok krvi nije dovoljan da zadovolji metaboličke potrebe neurona za kiseonikom i glukozom^{1,2}. U zavisnosti od mehanizma nastanka AMU se može klasifikovati u dve velike grupe: a) Akutni ishemski moždani udar (AIMU) koji nastaje kao posledica okluzije krvnog suda bilo trombom ili embolusom. Ovaj udar je značajno češći i dijagnostikuje se u oko 75-80% bolesnika; i b) Akutni hemoragijski moždani udar koji može biti po tipu intracerebralne (ICH) ili subarahnoidalne hemoragije (SAH), a dijagnostikuje se u preostalih 20-25% bolesnika. Prema novijim istraživanjima ishemski moždani udar obuhvata trombozu, emboluse, vensku trombozu i sistemsku hipoperfuziju³.

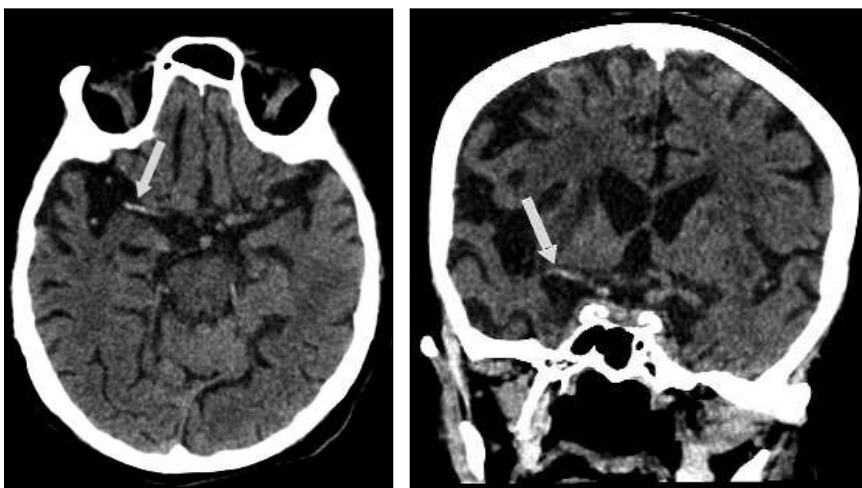
Iako je biohemski proces ishemiskog oštecenja mozga uniforman, postoji veoma veliki broj razlicitih uzroka nastanka AIMU: ateroskleroza velikih arterija, kardioembolacija, bolest malih arterija (lakune) kao i neaterosklerotske arteropatije (neinflamatorne i inflamatorne), hiperkoagulabilna stanja, nasledni i stečeni hematološki

poremećaji, antifosfolipidni sindrom, migrena, vazospazam kod SAH, sistemska hipotenzija, konzumiranje alkohola, narkomanija, trudnoća i puerperijum¹.

Ključna uloga kompjuterizovane tomografije (CT) je u isključenju hemoragije ili drugih promena nastali kao



slika 1. Nekontrastni CT pokazuje intracerebralnu hemoragiju u bazalnim gangijama levo sa prodom krv u komorni sistem. Hemoragičan sadžaj prisutan i u sulkusima frontoparijetalno obostano kao i interhemisferično.



Slika 2. Nekontrastni aksijalni i koronalni CT pokazuju hiperdenzni proksimalni segment arterije cerebri medije sa desne strane - tromboza (na slici označeno strelicom)

Analizom parenhima detektuju se rani znaci akutnog moždanog udara i isključuje hemoragija kao uzroka. U prvih dva sata od početka nastanka simptoma, CT nalaz je normalan. U narednih par sati CT-om se mogu detektovati rani znaci akutnog ishemijskog moždanog udara, odnosno, znak vrpce, gubitak insularne trake i zamračenje nukleusa lentiformisa. „Znak vrpce“ predstavlja hiperdenzitet u krvnom суду (najčešće ACM) која је posledica akutne tromboze i odgovara trombu (slika 2). Ovaj znak је visoko specifičан али ниске senzitivnosti, jer се hiperdenzitet ACM-а уочава и код калцификација или код високог нивоа hematokrita. Promene су у тим случајевима најчешће bilateralne 5,6,7,8,9. Citoksičни edem који је посљедица акутне исхемије обично је знак раног и irreverzibilnog оштећења и CT pregledom се вidi као зона смањене atenuacije. Уколико је исхемијом захваћен insularni korteks тада се не може правити диференцијација између сиве и беле моžдане мase. Оваке знаце су познате као знаке губитка insularne trake (slika 3) ¹⁰.

Iz истог разлога уколико је исхемично подручје nukleusa lentiformisa доћи ће до губитка диференцијације базалних ganglija. Оваке знаце се могу видети две сата након настанка моžданог udara (slika 4) ¹¹. U daljoj evoluciji moždanog udara, исхемична зона постаје јасно demarkirana од околног parenhima, а edem dovodi do uvećanja girusa i posledičnog zaravnjivanja sulkusa. Takođe se може видети и kompresivni efekat na okolni komorni sistem (slika 4).

Za utvrđivanje kvantiteta промена захваћених исхемијом користе се The Alberta Stroke Program Early CT (ASPECT Score) који користи 10 бодовни topografski систем, при чему су територије која васкуларизује arterija cerebri media (ACM) подељене на десет регија и где свака од њих označava по један бод у крајњем резултату. Shodno томе, нормална ACM територија има ASPECT Score 10 (slika 5). За сваку регију захваћену исхемијом одузима се по један

bod. Уколико је ASPECT Score вредност између 8 и 10 код pacijenata је индикована tromboliza са 0,9 m mol /l rt – PA ^{12,13}.

Procena krvnih судова vrši се CT angiografijom, и то анализом како екстракранijalnih tako intrakranijalnih krvnih судова у циљу идентификације и локализације arterijskih okluzivnih оболjenja, као и квантifikација степена стеноze и одредивања патологије (дисекција ateroskleroza, aneurizmatska проширења, arteriovenske malformације) (slika 6) ¹⁴.

U akutnoj исхемији mozga можемо razlikovati две zone: centralnu sa irevezibilnim oштећењем tkiva i perifernu u kojoj su oштећења потенцијално reverzibilna ukoliko se правовремено izvrši

rekanalizacija okludiranog krvnog суда. Ово потенцијално reverzibilno подручје назива се *penumbra* или tkivo u riziku ¹⁵.

CT perfuzija је динамиčка дијагностичка метода којом се може evaluirati dotok крви у моžдано tkivo uz intravensku primenu (i.v.) kontrastног sredstva. Ona нам omogућава да одредимо preciznu локализацију i величину infarkta i идентификује penumbru (regiju u коjoj su neuronи su afunkcionalni, ali još uvek sposobni za život i могу се spasiti уколико se primeni brza, jedina i adekvatna terapija, a то је trombolitička terapiја). U zavisnosti od softverskih могућности CT aparata, може се uraditi perfuzija jedног dela mozga ili čitavog endokranijuma. Уколико nije moguće načiniti perfuziju (CTP) čitavog endokranijuma, onda је важно odrediti nivo skeniranja u toku perfuzије. CTP se најчешће vrši u nivou basalnih ganglija. Применом specijалног neuroperfuzионог programa dobijaju се mape mozga u koloru, тачније параметри који се kasnije analiziraju: cerebral blood flow (CBF), cerebral blood volume (CBV) i mean transit time (MTT).



Slika 3. Nekontrastni CT pokazuju gubitak diferencijacije sive i bele moždane mase insularno levo као и немогућност diferencijacije nc.lentiformisa levo.



Slika 4. Nekontrastno CT pokazuje frontoparijetalno levo difuznu hipodenznu зону која одговара акутној исхемији са edematoznim girusima, заравњеним sulkusima i kompresivnim efektom не тело и frontalni rog leve bočne komore.

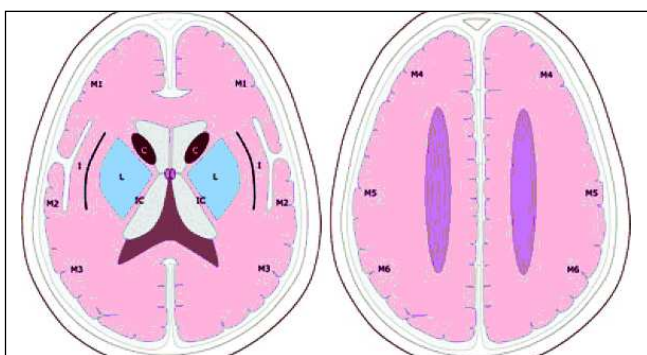
CBV mapa na kojoj se vidi perfuzioni deficit koji predstavlja „cor“ ili srž infarkta ili skup ćelija koje su u potpunosti odumrle. Razlika u veličini perfuzionog deficitu CBV i CBF mape označava penumbru. Ukoliko nema razlike u veličini perfuzinog deficitu ukrštanjem CBV i CBF mape, znači da ne postoji penumbra. MTT je najsenzitivnija mapa i ona je najčešće služi za otkrivanje lakunarnih infarkata mozga (slika 7)¹⁶.

Nekontrastni CT je dijagnostička tehnika izbora u većini situacija za inicijalni pristup suspektnom moždanom udaru. Približno dve trećine svih akutnih ishemijskih moždanih udara se pojavljuju u vaskularnoj teritoriji ACM-a 17. Dijagnostikovanje ovih ishemijskih promena na CT-u može biti teško, a rani radiološki znaci mogu biti diskretni. To je razlog što su rezultati retrospektivnih studija pokazali da je pregled senzitivan u 66%, a specifičan u 87% slučajeva¹⁸. Shodno maksimi „time is brain“ najvažniji je brz klinički i dijagnostički pristup, a u cilju što ranije primene tromboličke terapije.

Prednosti metode su: kratko vreme pregleda, osetljivost pri otkrivanju kalcifikacija i akutnih krvarenja i odlična vizualizacija anatomske koštane strukture baze lobanje i kičmenog stuba. Bitno je napomenuti da kod pacijenata koji imaju strana metalna tela ili ugrađen provodnik ritma MRI snimanje nije moguće¹⁹.

Nedostaci metode su zračenje u toku pregleda, manja osetljivost za lezije malog mozga, moždanog stabla i temporalnih režnjeva zbog artefakata od bliskih koštanih struktura. CT može da bude neuspešan pri otkrivanju infarkta u vertebrobasilarnom slivu, u blizini kostiju lobanje, onih manjih od 5 mm u promeru, kao i infarkta koji su praćeni malim edemom¹⁹.

I pored tehnološkog napredka i uvodenja savremenih dijagnostičkih metoda, CT pogotovo nekontrastni, i dalje predstavlja zlatni standard u dijagnostici akutnih moždanih udara.



Slika 5. ASPECTS (eng. „The Alberta Stroke Program Early CT Score“)

M1: „anteriori MCA korteks“ - frontalni operculum

M2: „MCA korteks lateralno od insularnog korteksa“ - anteriori temporalni lobus

M3: „posteriori MCA korteks“ posteriori temporalni lobus

M4: „anteriora MCA teritorija superiorno od M1“

M5: „lateralna MCA teritorija superiorno od M2“

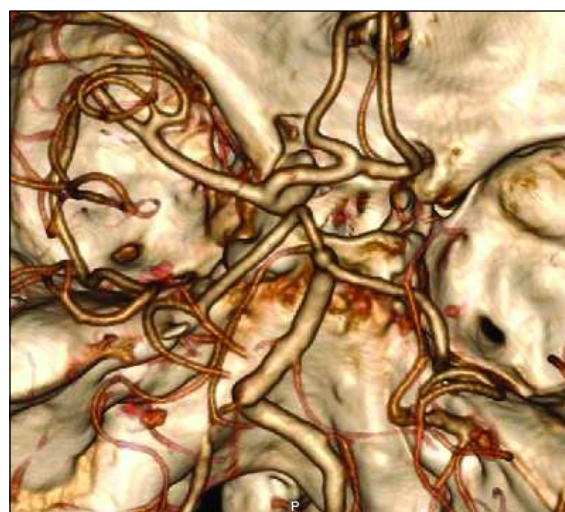
M6: „posteriora MCA teritorija superiorno od M3“

C: caput nuclei caudati

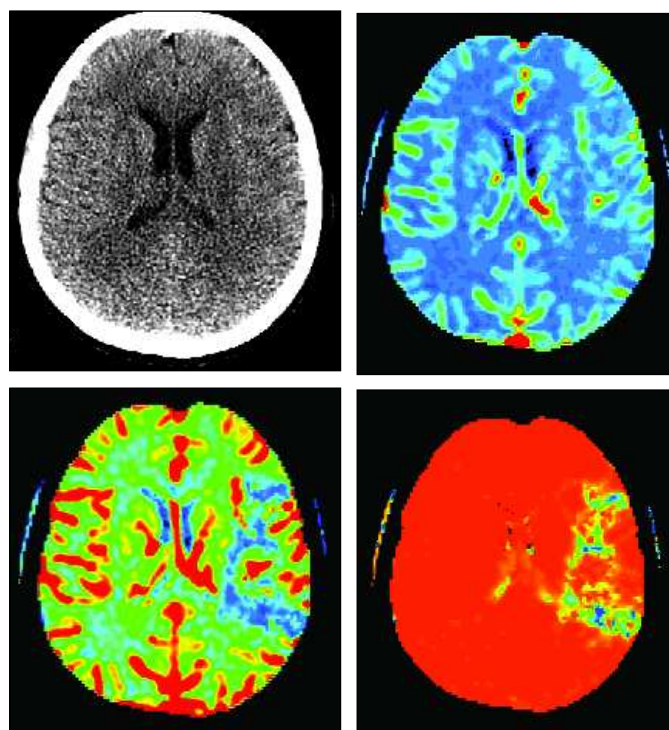
L: nukleus lentiformis

IC: capsula interna

I: insularni korteks



Slika 6. Trodimenzionalna volume rendering CT angiografija. Ne vizuelizuju se desna unutrašnja karotidna arterija, desna srednja cerebralna arterija i desni A1 segment predne cerebralne arterije. Nalaz bi odgovarao okluziji desne unutrašnje karotidne arterije.



Slika 7. Nativni CT, CBF, CBV, MTT: nekontrastni CT ne pokazuje znake akutnog moždanog udara. U CBF mapi vidi se veliki perfuzioni deficit frontotemporalno levo u zoni irrigacije ACM. U istoj regiji vidi se izrazito produžen MTT. Manji perfuzioni deficit se vidi u CBV mapi frontalno levo tako da se ukrštanjem CBV i CBF mape razlika u veličini perfuzionog deficitu pri čemu je on znatno manji na CBV mapi što ukazuje na veću zonu penumbre i pacijent je kandidat za trombolitičku terapiju.

Abstract

Acute stroke is the third leading cause of death in the developed world, after cardiovascular disease and malignancy, and the leading cause of death in our society. This is the disease with the highest level of disability; about one-half of the stroke survivors have residual neurological or psychological consequences. The aim of neuroradiology is establishing diagnosis as soon as possible. The role of computed tomography (CT) is reflected in the exclusion of hemorrhage or other changes that occurred as a result of infection or neoplasm that can mimic the clinical picture of a stroke. Advanced CT techniques – CT-angiography and CT-perfusion could visualize occlusions, stenosis and dissections of blood vessels and define tissue in the risk - penumbra. Information obtained with CT techniques can help to determine to which patients we will prescribe thrombolytic therapy.

LITERATURA

1. National Collaborating Centre for Chronic Conditions. Stroke: national clinical guidelines for diagnosis and the initial management of acute stroke and transient ischaemic attack (TIA). London: Royal College of Physicians, 2008
2. Easton JD, Saver JL, Albers GW et al. Definition and evaluation of transient ischemic attack. American Heart Association/American Stroke Association Stroke Council, Council on Cardiovascular Surgery and Anesthesia; Council on Cardiovascular Radiology and Intervention. Stroke 2009; 40:2276–93.
3. Amarenco P, Bogousslavsky J, Caplan LR, et al. Classification of stroke subtypes. Cerebrovasc Dis 2009; 27: 493-501.
4. Rowley HA. The four Ps of acute stroke imaging: parenchyma, pipes, perfusion, and penumbra. AJNR Am J Neuroradiol 2001; 22: 599–601.
5. Barber PA, Demchuk AM, Hudon ME, et al. Hyperdense sylvian fissure MCA “dot” sign: a CT marker of acute ischemia. Stroke 2001; 32:84-8.
6. Leys D, Pruvo JP, Godefroy O, Rondepierre P, Leclerc X. Prevalence and significance of hyper-dense middle cerebral artery in acute stroke. Stroke 1992; 23:317–324.
7. Bastianello S, Pierallini A, Colonna C, et al. Hyperdense middle cerebral artery CT sign: comparison with angiography in the acute phase of ischemic supratentorial infarction. Neuroradiology 1991; 33: 207–211
8. von Kummer R, Meyding-Lamade U, Forsting M, et al. Sensitivity and prognostic value of early CT in occlusion of the middle cerebral artery trunk. AJNR Am J Neuroradiol 1994; 15: 9–15.
9. Tomsick TA, Brott TG, Olinger CP, et al. Hyperdense middle cerebral artery: incidence and quantitative significance. Neuroradiology 1989; 31: 312–315.
10. Truwit CL, Barkovich AJ, Gean-Marton A, et al. Loss of the insular ribbon: another early CT sign of acute middle cerebral artery infarction. Radiology 1990;176:801-6.
11. Tomura N, Uemura K, Inugami A, et al. Early CT finding in cerebral infarction: obscuration of the lentiform nucleus. Radiology 1988;168:463-7.
12. Barber PA, Demchuk AM, Zhang J, et al. Validity and reliability of a quantitative computed tomography score in predicting outcome of hyperacute stroke before thrombolytic therapy. ASPECTS Study Group. Alberta Stroke Programme Early CT Score. Lancet 2000;355:1670-4.
13. Pexman JH, Barber PA, Hill MD, et al. Use of the Alberta Stroke Program Early CT Score (ASPECTS) for assessing CT scans in patients with acute stroke. AJNR Am J Neuroradiol 2001;22:1534-42
14. Katz DA, Marks MP, Napel SA, Bracci PM, Roberts SL. Circle of Willis: evaluation with spiral CT angiography, MR angiography, and conventional angiography. Radiology 1995;195:445–449.
15. Astrup J, Siesjo BK, Symon L. Thresholds in cerebral ischemia: the ischemic penumbra. Stroke 1981;12:723–725.
16. Cianfoni A, Colosimo C, Basile M, et al. Brain perfusion CT: principles, technique and clinical applications Radiol Med 2007;112:1225e43.
17. Hacke W, Kaste M, Bluhmki E, et al. Thrombolysis with alteplase 3 to 4.5 hours after acute ischemic stroke. N Engl J Med 2008;359:1317e29.
18. Wardlaw JM, Mielke O. Early signs of brain infarction at CT: observer reliability and outcome after thrombolytic treatment: systematic review. Radiology 2005;235:444-53.
19. Chalela JA, Kidwell CS, Nentwich LM, et al. Magnetic resonance imaging and computed tomography in emergency assessment of patients with suspected acute stroke: a prospective comparison. Lancet 2007;369:293e8.